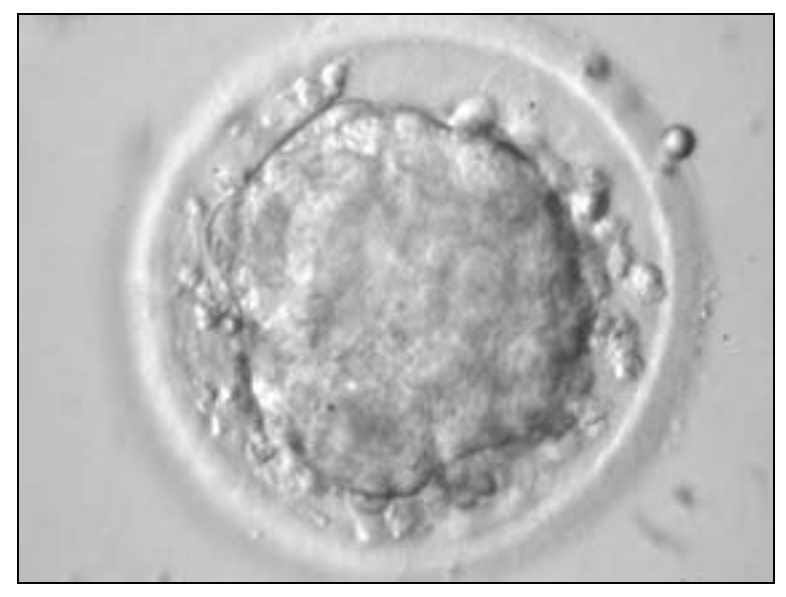


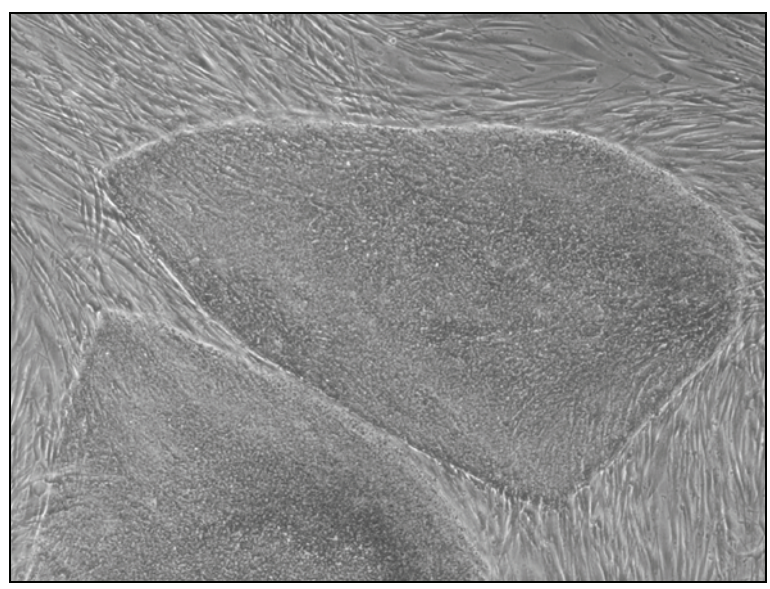
ANEXO



MORFOLOGÍA DE VAL-9

(A) Mórula tardía (40x), (B) morfología típica colonias de VAL-9 (4x).







TIPIFICACIÓN HLA DE VAL-9

Llevado a cabo en el pase 6, por el Centro de Transfusiones de la Comunidad Valenciana.

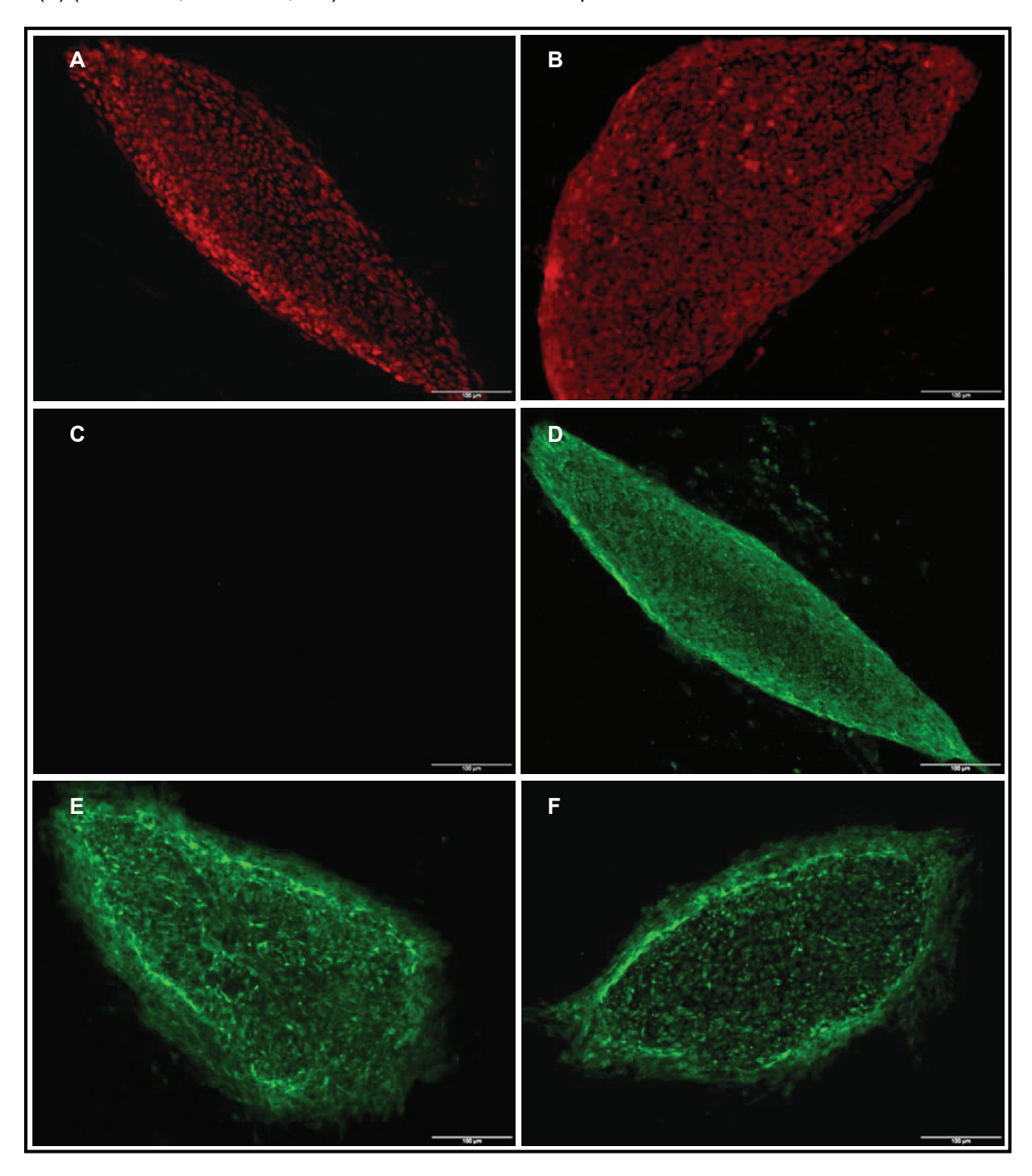




MARCADORES INDIFERENCIACIÓN DE VAL-9

Expresión de antígenos de indiferenciación en VAL-9

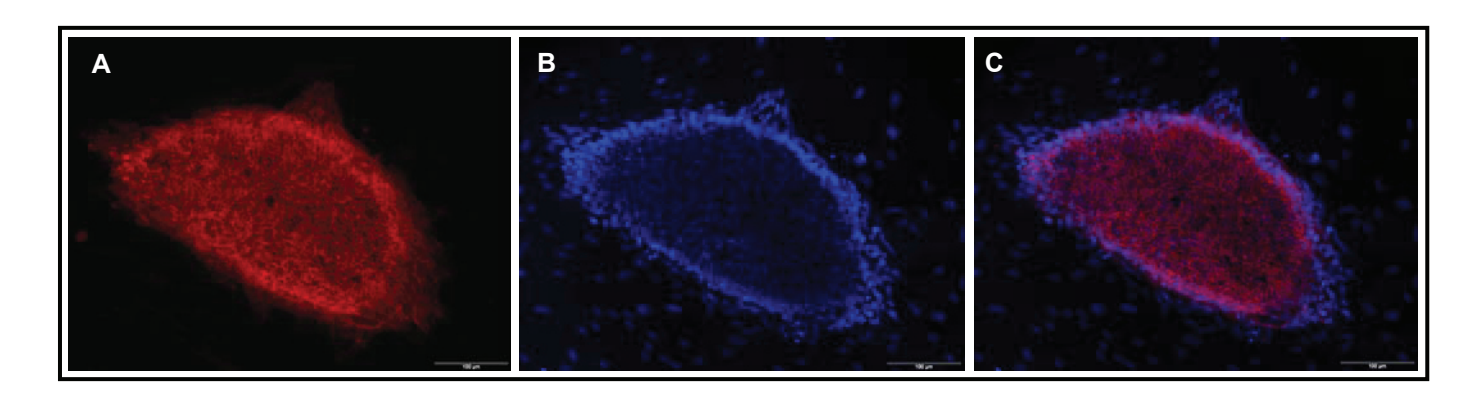
Inmunocitoquímica para OCT-4 (A), Nanog (B) (R&D, Minneapolis, MN), SSEA-1 (C), SSEA-4 (D), Tra-1-60 (E) y Tra-1-81 (F) (Chemicon, Temecula, CA). Barra de escala = $100 \mu m$.





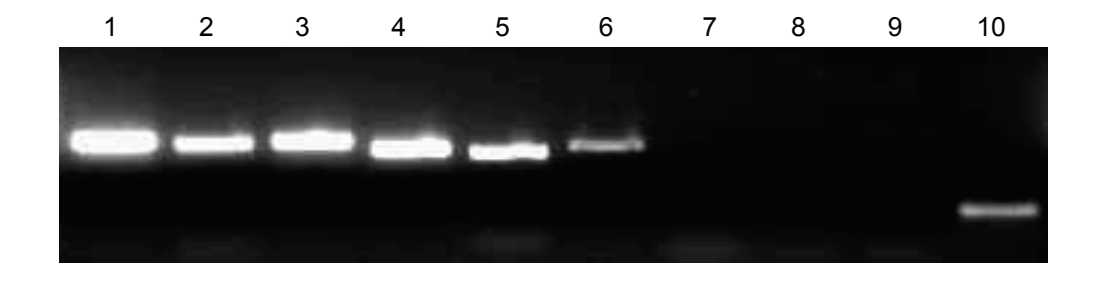
Ensayos de actividad de fosfatasa alcalina en VAL-9

Inmunocitoquímica para isoenzima Fosfatasa Alcalina clon TRA 2-54/2J (Chemicon, Temecula, CA) (A); DAPI (B); Fosfatasa Alcalina + DAPI (C). Barra de escala = $100 \mu m$.



Expresión de marcadores moleculares de indiferenciación de VAL-9

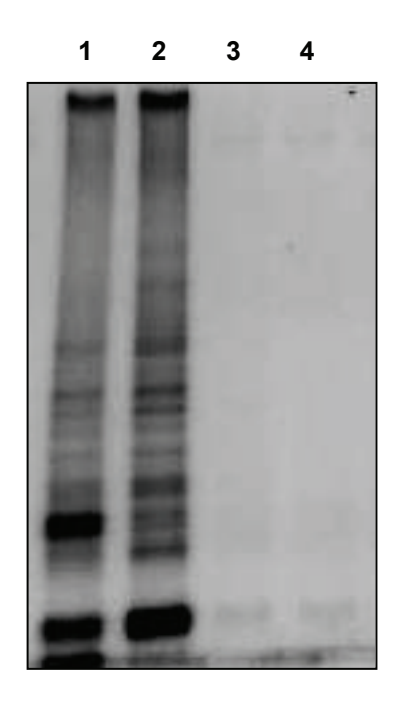
RT-PCR positiva en pase 5 para Oct-3/4 (1), Nanog (2) Cripto (3), Dnmt3 (4), Gabr (5), y Gdf (6) y negativa para Nfh (7), Ren (8) y Amy (9). El control interno de expresión utilizado es RPL19 (10).





Determinación de la existencia de actividad telomerasa en VAL-9

La detección de la actividad telomerasa característica de células inmortales se ha realizado mediante una reacción de PCR utilizando un kit específico (TRAPEZE [®] Telomerase Detection Kit; Chemicon, Australia) y tinción con SYBR[®] (Molecular probes, USA). El análisis de la actividad telomerasa se realizó sobre células intactas de VAL-9 en pase 5 (1), utilizando otra línea de células madre embrionarias humanas como control positivo (2). Como controles negativos, se utilizaron células de VAL-9 inactivadas por calor (3), y fibroblastos (4).

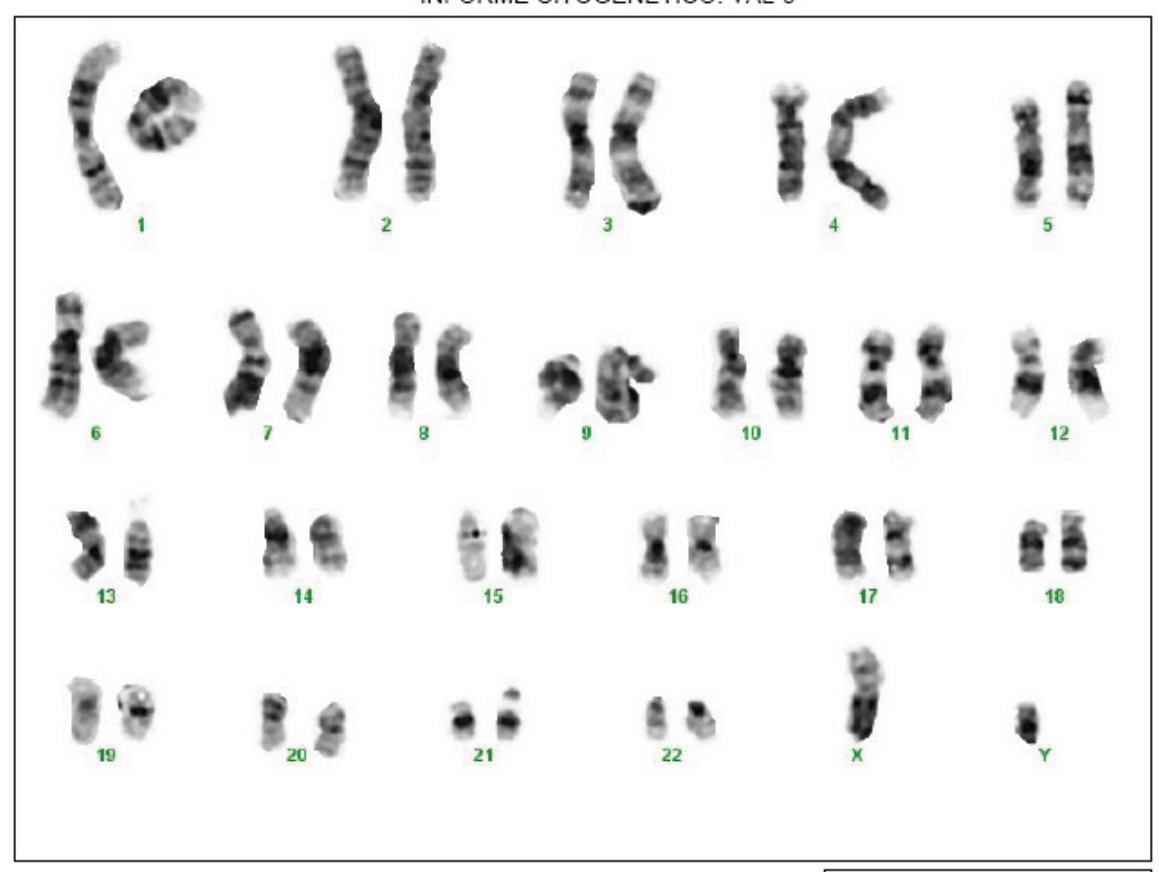




ESTUDIO DEL CARIOTIPO DE VAL-9

Llevado a cabo en el pase 6, por un laboratorio independiente (IVI Murcia, España).

INFORME CITOGENÉTICO: VAL-9

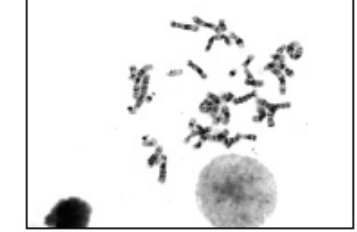


Nombre del caso: VAL-9

Nombre del Paciente: Pase 6

Tipo de muestra: Línea celular

Fecha: 17/12/2008



Resultado: 46,XY[20]

El análisis cromosómico revela un cariotipo MASCULINO NORMAL. Se han estudiado un total de 20 metafases mediante bandas GTG.

Dra. C Méndez

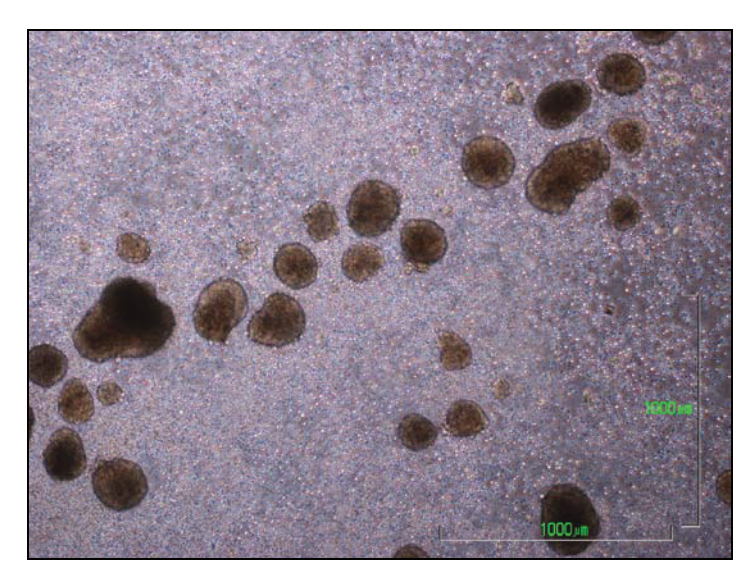
Dra. MC Martinez



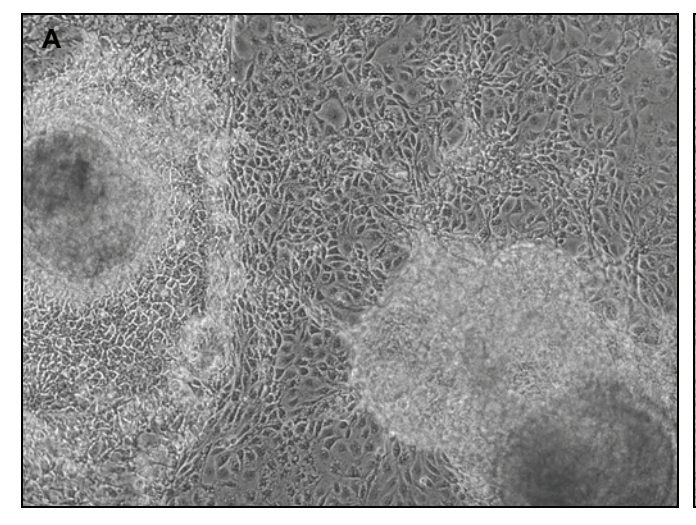
PLURIPOTENCIALIDAD DE VAL-9

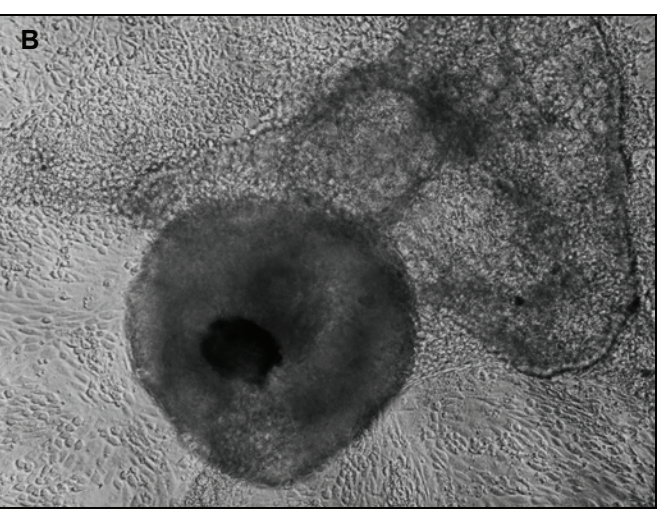
Diferenciación espontánea in vitro de VAL-9

Por flotación, en placas de no adhesión, se generan cuerpos embriodes y se mantienen en esas condiciones entre 4 y 7 días. Barra de escala = $1000 \ \mu m$.



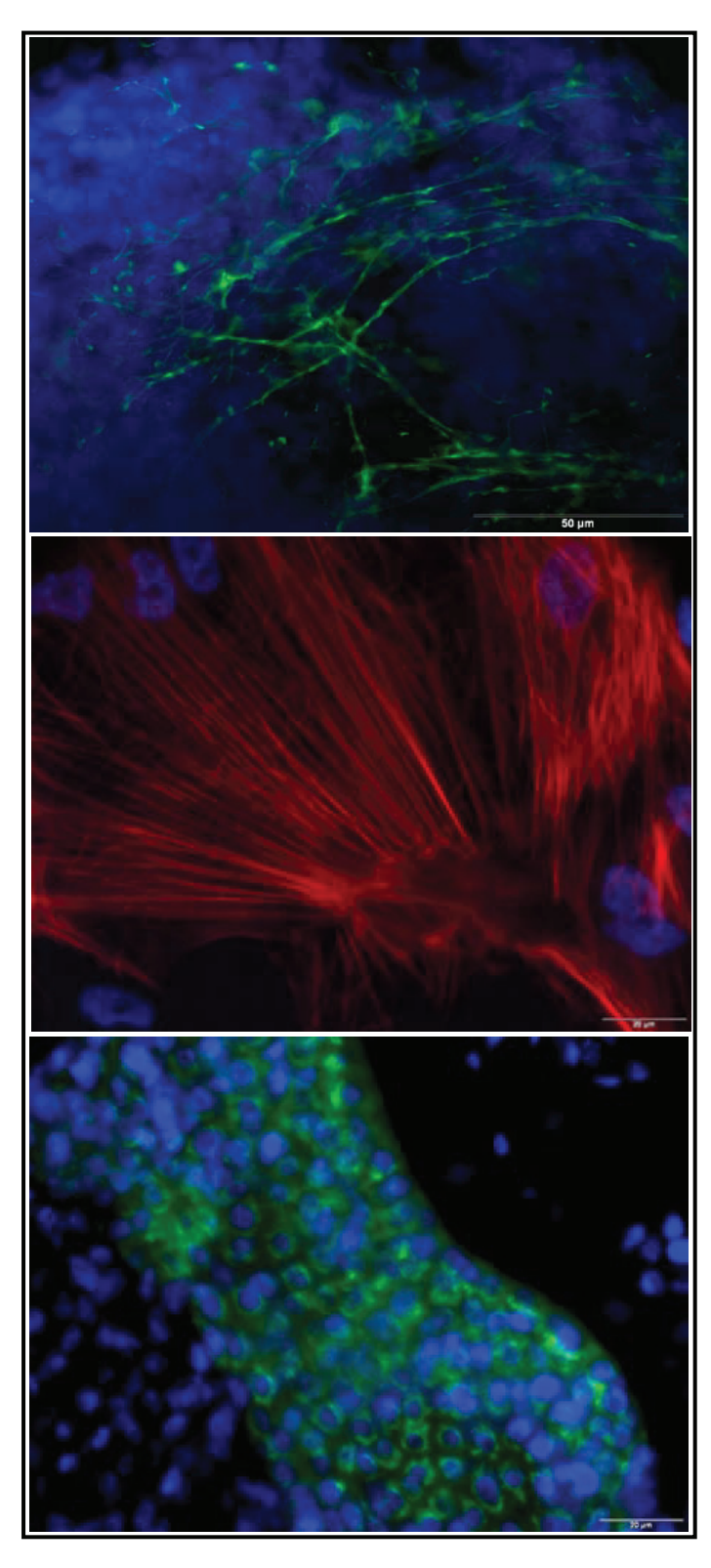
Transcurrido ese tiempo, los cuerpos embrioides se transfieren a placas cubiertas con gelatina 1% para facilitar su adhesión. Durante el cultivo en placa, se obtuvieron diferentes tipos celulares (A) y en día 9 de cultivo se observaron focos de latido (B):







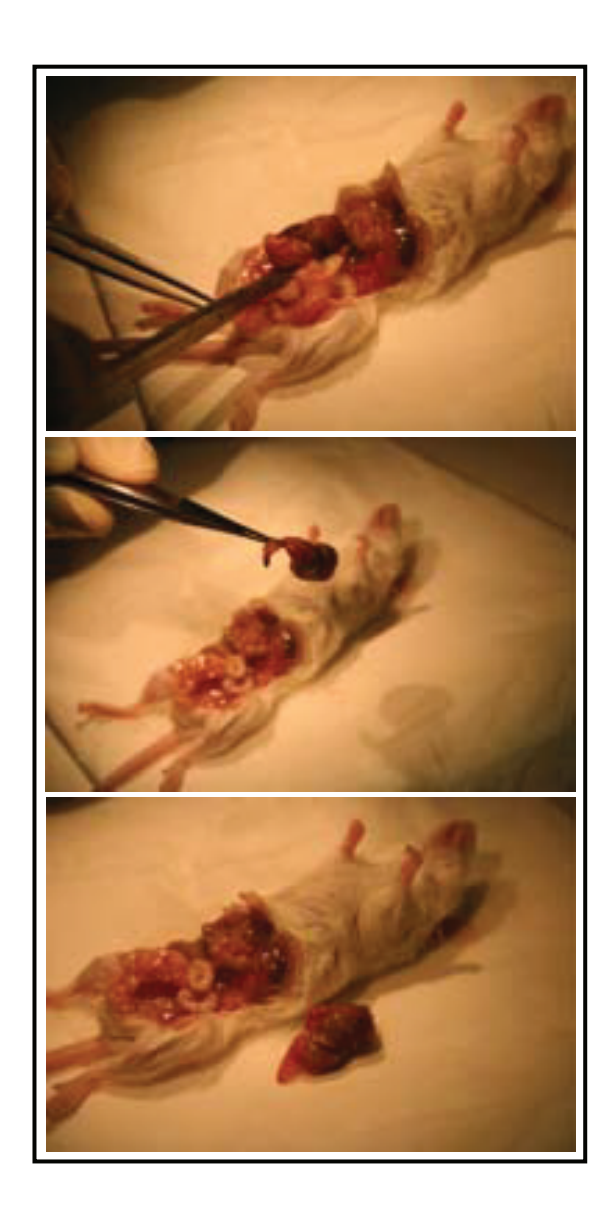
Tras 10-14 días, se fijan y se analizan marcadores de diferenciación característicos de (A) ectodermo (tubulin, β -III), (B) mesodermo (actina muscular) y (C) endodermo (α -fetoproteína). Barra de escala = 50 μ m para (A) y (C) y 20 μ m para (B).





Diferenciación espontánea in vivo de VAL-9

Para desarrollar los experimentos de diferenciación in vivo de las líneas, se utilizan ratones macho de 8 semanas de edad, con inmunodeficiencia severa combinada (SCID). Las colonias de células madre utilizadas se aíslan mecánicamente de la monocapa de feeder. Se inyectan 30 colonias por testículo. La aparición de tumores se puede detectar por palpación transcurridas 8 semanas de la inyección. El desarrollo de los mismos se mantiene durante 2-4 semanas más, momento en el que los animales se sacrifican por desnucación cervical.





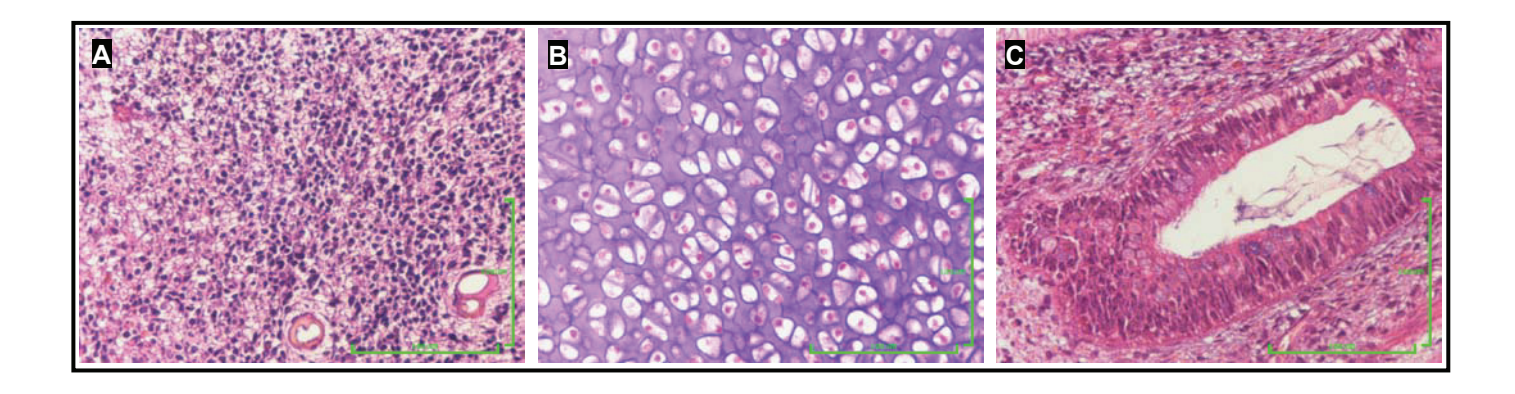
BANCO NACIONAL DE LÍNEAS CELULARES NODO COMUNIDAD VALENCIANA

Las muestras son fijadas y enviadas para estudio anatomopatológico por parte de un laboratorio independiente (CITOPAT, S.L.).

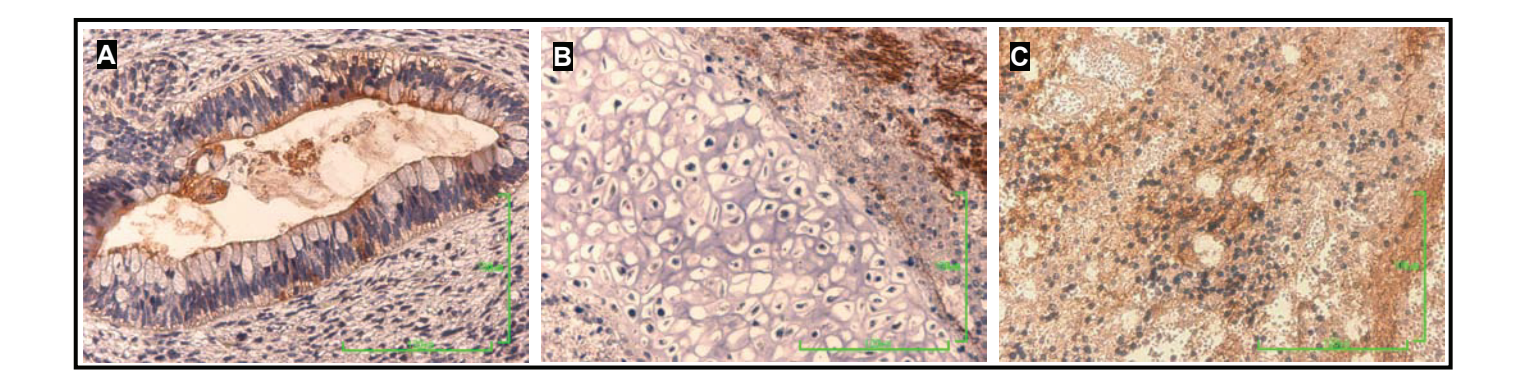
	INFORME ANATOMOPAT	τοι όσισο			
PACIENTE	IN ORME ACATOMOLA	A Company of the last	AN HC	E Toma	E Panista
	LIPE _, TESTES RATON	F. Nacim	Nathe	F. Toma 10/03/2009	10/03/2009
Dr/Dra:	Clinica: CIPF			Toron 2000	TOTOGRASS
	211.				
ÓRGANO: TESTICU	LO				
DESCRIPCIÓN MACE	ROSCÓPICA				
77TD VAL 10B: Testic bloques) 79 VAL 9: Testiculo de engrosada.	ulo de 1,3 x 1 cm parcialmente quistico y culo de 2 x 1,5 x 1,5 cm de consistencia pe 1,5 x 1 cm de aspecto quistico y parede e 2 x 1,5 x 1 cm de aspecto carnoso y her ROSCÓPICA	gelatinosa homo es lisas traslucid	ogenea al c	orte (dos	
	TOMA QUISTICO CON PREDOMINIO				
77TI VAL10B: TERAT DIFERENCIACION CO GLANDULARES.	TOMA QUISTICO CON PREDOMINIO ONDRAL Y AISLADAS AREAS EPITI TOMA QUISTICO CON DIFERENCIA	ELIALES ESCA	AMOSAS	Y	
77TI VALIOB: TERAT DIFERENCIACION CO GLANDULARES. 77TD VALIOB TERAT EMBRIONARIAS, PR. 79 VAL 9 TERATOM/ EMBRIONARIAS CO ALGUN FOCO GLIAL	ONDRAL Y AISLADAS AREAS EPITI TOMA QUISTICO CON DIFERENCIA LEDOMINIO MESENQUIMAL. A QUISTICO CON DIFERENCIACION N AREAS DE EPITELIO DIGESTIVO,	ELIALES ESCA CION DE LAS N DE LAS TRES ESCAMOSO Y	AMOSAS TRES HO S HOJAS	y JAS	ON
77TI VALIOB: TERAT DIFERENCIACION CO GLANDULARES. 77TD VALIOB TERAT EMBRIONARIAS, PR. 79 VAL 9 TERATOM/ EMBRIONARIAS CO ALGUN FOCO GLIAL	ONDRAL Y AISLADAS AREAS EPITI TOMA QUISTICO CON DIFERENCIA LEDOMINIO MESENQUIMAL. A QUISTICO CON DIFERENCIACION N AREAS DE EPITELIO DIGESTIVO, L.	ELIALES ESCA CION DE LAS N DE LAS TRES ESCAMOSO Y	AMOSAS TRES HO S HOJAS	y JAS	ON



Microscópicamente, la búsqueda se orienta hacia la identificación de tejidos fácilmente distinguibles como (A) entramado fibrilar, (B) nidos de condrocitos o (C) glándulas. Barra de escala = $100 \mu m$.



Para confirmar la presencia de derivados de las tres hojas embrionarias, se analizan marcadores de diferenciación característicos de (A) ectodermo (tubulin, β -III), (B) mesodermo (actina muscular) y (C) endodermo (α -fetoproteína). Barra de escala = 100 μ m.





ANÁLISIS MICROBIOLÓGICOS DE VAL-9

5	
BORATORIOS DR. MAIGUES, S.L.	
C.I.K. B-98853007 UID. MYONORIS. 1 A.	
Teléfono, 96 13T 17 20 46111 - ROCAFORT (Wellnoid)	
	CIPF-FVIB
	BANCO DE LINEAS CELULARES (I-15)
	A/A EVA GOMEZ C/E.P. Avda. Autopista del Saler nº 16-3
	(junto Oceanográfico)
	46013 (Valencia)
	NIF: G 46923421
	N° PEDIDO: 09-115-0010
	HUESTRAS PARA TESTAR
	(CIPF 03/02/09)
MUESTRA	RESULTADO
VAL-9 Pase 22	
	C. micologico: negativo
de estas muestras han sido:	ados para la realización de los cultivos bacteriológicos Agar Sangre, Agar Chocolate, Agar MacConkey, Agar obiosis y 10% CO2 y en medio de Schadler Agar
Sangre en Anacrobiosis.	miosis y 10 % CO2 y en medio de Schadier Agar
	6 6
	Valencia 9 febrese 2009
	/ [



CENTRO DE INVESTIGACION
BANCO NACIONAL DE LÍNEAS CELULARES
NODO COMUNIDAD VALENCIANA

INSTITUTO VALENCIANO DE MICROBIOLOG-A



Instituto Valenciano de Microbiología

Masia El Romeral Ctra. Bétera - San Antonio de Benagéber, Km. 0,3 46117 Bétera (Valencia) Tel. 96 169 17 02 - Fax 96 169 16 37 e-mail: ivami@ivami.com http://www.ivami.com

Nombre : VAL-9 Nº muestra : 11000056 Su referencia : VAL-9

Doctor/ra : No consta

Centro : CENTRO INVESTIG. PRINCIPE FELIPE (I-15)

Tipo muestra : Células y medio de cultivo

Condiciones : Refrigerada

Nº Historia : No consta

F y H Recepción : 06/02/2009 10:05:27

F. Extracción : No consta H. Extracción : No consta

Detección de ADN de Mycoplasma spp. contaminantes mediante PCR

PCR "nested-PCR

La detección de ADN de Mycoplasma spp. contaminantes (M. arginini, M. fermentans, M. hyorhinis, Acholeplasma laidlawii, etc...) en cultivos celulares, mediante doble amplificación enzimática de la región genómica 16S y 23S del ARNr (ARN ribosómico), con dos series de cebadores, ha resultado:

Negativo

Observaciones:

Proyecto I15/Pedido N° 09-I 15-0012 A/A Dra. Noelia Fliquete

16 de marzo de 2009 Encarna Esteban Bermúdez

Primera Impresión 13/02/2009 17:06:20

FINAL

Página 1 de 1

Registro mercantil de Valencia, tomo 5003, libro 2311, sección O, folio 66, hois n.º VST151, inscripción 1.º - C.I.F. B-96337217



SOPORTE CELULAR

Ficha técnica y análisis microbiológicos del Feeder utilizado en la derivación y mantenimiento de las líneas:

